- mustine therapy of experimental rat glioma[J]. Neurosurgery, 2001,49(4):969-973.
- [3] Namba H. Tagawa M. Miyagawa T. et al. Treatment of rat experimental brain tumors by herpes simplex virus thymidine kinase gene-transduced allogeneic tumor cells and ganciclovir[J]. Cancer Gene Ther. 2000. 7(6):947-953.
- [4] Zhang X, Wu J, Gao D, et al. Development of a rat C6 brain tumor model. Chin Med J, 2002, 115(3):455-457.
- [5] Lai PH, Ho JT, Chen WL, et al. Brain abscess and necrotic brain tumor; discrimination with proton MR spectroscopy and diffusion-weighted imaging[J]. Am J Neuroradiol, 2002, 23(8); 1369-1377.
- [6] Tarnawski R, Sokol M, Pieniazek P, et al. ¹H-MRS in vivo predicts the early treatment outcome of postoperative radiotherapy for malignant gliomas[J]. Int J Radiat Oncol Biol Phys, 2002, 52 (5):1271-1276.
- [7] Leclerc X, Huisman TA, Sorensen AG, et al. The potential of proton magnetic resonance spectroscopy ¹H-MRS in the diagnosis and management of patients with brain tumors[J]. Curr Opin On-

- col, 2002, 14(3): 292-298.
- [8] Kinoshita Y, Yokota A. Absolute concentrations of metabolites in human brain tumors using in vitro proton magnetic resonance spectroscopy[J]. NMR Biomed, 1997, 10(1):2-12.
- [9] Herminghaus S, Pilatus U, Moller-Hartmann W, et al. Increased choline levels coincide with enhanced proliferative activity of human neuroepithelial brain tumors[J]. NMR Biomed, 2002, 15(6): 385-392
- [10] Terpstra M, High WB, Luo Y, et al. Relationships among lactate concentration, blood flow and histopathologic profiles in rat C6 glioma[J]. NMR Biomed, 1996, 9(5):385-392.
- [11] Rosi A, Luciani AM, Matarrese P, et al. ¹H-MRS lipid signal modulation and morphological and ultrastructural changes related to tumor cell proliferation[J]. Magn Reson Med, 1999, 42(2): 248-257.
- [12] Lahrech H, Zoula S, Farion Ret, et al. In vivo measurement of the size of lipid droplets in an intracerebral glioma in the rat[J].

 Magn Reson Med, 2001, 45(3): 409-414.

(收稿日期:2003-12-17 修回日期:2004-03-03)

• 病例报道 •

内生软骨瘤病一例

高建华,叶道斌,崔英,张如意,金晶

【中图分类号】R445 【文献标识码】D 【文章编号】1000-0313(2004)12-0916-01

病例资料 患者,女,38岁。5岁时出现双手畸形改变,右肩及胸骨有一红枣大小的硬性包块,双手及右肩畸形变随生长发育变化,无疼痛,至18岁双手畸形变化停止,右肱骨上段包块约鸡蛋大小。1996年始右肱骨上段硬性包块渐增大,遂来院就诊。入院后查体:右肱骨上段近肩关节处可见大小约20 cm×15 cm×12 cm 的硬性包块,边界清楚,无压痛,局部凹凸不平。双侧掌骨及指骨畸形变,左前臂向尺侧弯曲,胸骨柄上端可及约8 cm×8 cm 硬性包块,局部无红肿、压痛,边界清楚。双小腿远端畸形变,右下肢较左下肢短缩3 cm。

X线检查: 双前臂及双手掌骨、指骨、右肱骨及 双侧肩胛骨、胸骨、双胫骨远端见大小不等的膨胀样 改变, 骨小梁结构消失, 密度增高(图1)。 CT 扫描: 双侧肩胛骨、肱骨、胸骨呈膨胀样改变, 以右侧为著,

其內骨小梁正常结构消失,密度增高,右侧肱骨骨皮质断裂,可见软组织密度影及砂砾样钙化影,病变范围较广泛(图 2)。考虑内生软骨瘤病,右肱骨局部恶变。2004年2月25日行肱骨上段软骨瘤切除术,术后病理诊断符合内生软骨瘤病。

讨论 内生性软骨瘤是发生在骨髓腔内的良性软骨源性肿瘤,分为单发与多发两类,其中多发性的称为内生软骨瘤病,是一种少见的疾病,其发病原因至今尚不明确。一般认为是骨



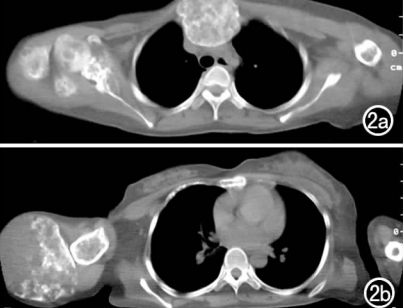


图1 X线正位像显示双侧尺桡骨远端、腕骨、掌骨、指骨呈枣核样改变,骨小梁结构消失,密度增高。 图2 胸部 CT 平扫。a)右侧肩胛骨、肱骨、胸骨呈膨胀样改变,其内骨小梁正常结构消失,密度增高;b)右侧肱骨呈膨胀样改变,骨小梁正常结构消失,骨皮质断裂,并见软组织影及砂砾样钙化影。

骼在发育过程中,部分干骺端软骨不能经历正常的软骨化骨而停滞于软骨阶段,并沉积在干骺端或逐渐转移至骨干继续发育形成畸形。因此,该病最多见于青少年手足短管状骨,其次为四肢长骨,但累及肩胛骨、胸骨者十分少见。其畸形随青春发育而发展,一般到达成年后肿瘤即停止生长,少数病例可恶变为软骨肉瘤。大多数患者表现为单侧不对称性发病,合并肢体畸形者称为 Ollier's 病,合并皮肤、内脏血管瘤者称为 Maffucci's 综合征。本例为胸骨、双侧肩胛骨、四肢及手足骨多发性发病,并伴有右下肢短缩畸形,应符合 Ollier's 病。

作者单位:100039 北京,武警总医院 CT 室 作者简介:高建华(1955-),女,北京人,副主任医师,主要从事 CT 诊断工作。

(收稿日期:2004-06-15 修回日期:2004-07-20)